


R. Lell

B SO 201

SOUŘADNICOVÝ SYSTÉM: S-JTSK
VÝŠKOVÝ SYSTÉM: Bpv

VEDOUCÍ PROJEKTANT	Ing. Martin ŘEHULKA	<i>R. Lell</i>	 Projekční kancelář PRIS spol. s r.o. OSOVA 20, 625 00 BRNO tel. / fax 547 212 053, e-mail info@pris.cz		
ZODPOVĚDNÝ PROJEKTANT	Ing. Radoslav PUČÁLKA	<i>Pučálka</i>			
VYPRACOVAL	Ing. Jonáš GRATZA	<i>Gratza</i>			
KONTROLOVAL	Ing. Jiří ŠRUBAŘ	<i>Šrubař</i>			
KRAJ	KRAJ VYSOČINA	OBJEDNATEL DOKUMENTACE	KSÚS VYSOČINA	DATUM	04/2019
AKCE				FORMÁT	A4
II/387 kříž. s I/19-hr. kraje, Ujčov most ev.č. 387-011				MĚŘÍTKO	-
SO 201 Most ev.č. 387-011				STUPEŇ	PDPS
				ČÍS. ZAKÁZKY	18156
				ARCHIVNÍ ČÍS.	201_09_SV.doc
PŘÍLOHA				ČÍS. SOUPRAVY	ČÍS. VÝKRESU
STATICKÝ VÝPOČET					9

STATICKÝ VÝPOČET

Akce: **II/387 kříž. S I/19 - hr. Kraje, Ujčov most**
ev.č. 387-011

Objekt: **SO 201 Most ev.č. 387-011**

Vypracoval:

v Brně, duben 2019

Ing. Jonáš Gratza

PŘEDPISY A LITERATURA:

- ČSN EN 1990 Zásady navrhování konstrukcí
- ČSN EN 1991-1-1 Zatížení konstrukcí - Část 1-1: Obecná zatížení
- ČSN EN 1991-1-4 Zatížení konstrukcí - Část 1-4: Zatížení větrem
- ČSN EN 1991-1-5 Zatížení konstrukcí - Část 1-5: Zatížení teplotou
- ČSN EN 1991-1-7 Zatížení konstrukcí - Část 1-7: Mimořádná zatížení
- ČSN EN 1991-2 Zatížení konstrukcí - Část 2: Zatížení mostů dopravou
- ČSN EN 1992-1-1 Navrhování betonových konstrukcí. Obecná pravidla a pravidla pro pozemní stavby
- ČSN EN 1992-2 Navrhování betonových konstrukcí - Část 2: Betonové mosty

PROGRAMY:

SCIA ESA	statické modely prutu
IDEA RS	posouzení žb. průřezu
MS EXCEL	ruční posouzení
MS WORD	textové přílohy

POPIS STAVBY:

Záměrem stavby je náhrada stávajícího mostu novou mostní konstrukcí se zavěšenými křídly. Nosnou konstrukci tvoří ŽB monolitický přesýpaný rám. Tloušťka stěn bude 0,30 m a příčel náběhovaná s mocností uprostřed rozpětí 0,3 m a u stěny 0,50 m. Založení stavby je hlubinné, na mikropilotách. Na mostě bude umístěno mostní zábradlí se svislou výplní.

Založení mostu

Most je založen hlubinně pomocí mikropilot.

Podkladní beton bude proveden pod základy a křídlem nového mostu. Tloušťka podkladního betonu je 150 mm a půdorysně přesahuje základ mostu o min. 150 mm. Podkladní beton základů rámu je vodorovný.

Most je založen na mikropilotách celk. dl. 5,0 m s délkou zainjektovaného kořene 4,0 m. Mikropiloty $\varnothing 89/10$ do vrtu $\varnothing 130$ jsou ve dvou řadách 12+12 ks. Mikropiloty jsou skloněny pod úhlem 10° .

Předpokládá se vrtání z pilotážní plošiny cca v úrovni základové spáry stávajícího základu s výškovou úrovní odpovídající hluchému hloubení cca do 1,0 m.

Poloha, počet a rozmístění jsou zřejmé z výkresů projektové dokumentace. Základy jsou monolitické z železobetonu, výšky 0,55 m se skloněným horním povrchem směrem ke stranám. Základy jsou kolmé šířky 1,5 m. Vůči stěnám rámu jsou základy umístěny excentricky směrem dovnitř rámu. Kolmá délka základů je 27,2 m.

Horní povrch základů je v podélném sklonu min. 4%.

Spodní stavba

Stěny rámu

Stěny rámu jsou navrženy jako monolitické železobetonové kolmé tl. 0,30 m a proměnné výšky cca 1,5 m. Jejich tvar je patrný z výkresové dokumentace. Mezi základem rámu a stěnami rámu je navržena pracovní spára.

Mostní křídla

Na mostě jsou navrženy 2 křídla (1L, 1P) a pomocné křídlo, které navazuje na pracovní spáru. V místě křídla 2L je navržena nová kamenná nábrežní zeď, která navazuje na stávající. Mostní křídla jsou navržena jako monolitická, železobetonová, zavěšená do stěn rámu. Křídlo 1L je částečně vetknuté i do základů rámu.

Křídla budou tloušťky 500 mm a budou lichoběžníkového tvaru.

Pohledová plocha křídel bude provedena bez dalších úprav, tj. pohledový beton.

Prostor za křídly se vyplní spolu s přechodovou oblastí mezerovitým betonem. Zásyp líce křídel bude vhodnou zemínou.

Délky a tvary křídel jsou patrné z projektové dokumentace. Materiál konstrukce je specifikován v příslušném odstavci technické zprávy.

Není-li na výkrese uvedeno jinak, provede se zkosení hran 15x15 mm.

Nosná konstrukce

Nový most je navržen jako kolmý monolitický ŽB rám.

Jako nosná konstrukce je označovaná příčel rámu šířky v ose 27,2 m a tloušťky - 300 mm, která je rámově spojena se stěnami rámu (opěrami) V podélném směru je příčel náběhovaná na dl. 0,2 m na výšku příčle ve vetknutí 0,50 m.

Horní povrch příčle rámu sleduje povrch vozovky na mostě. Příčně je ve jednostraném sklonu 2,3 %.

Na vnějších okrajích NK jsou navrženy poprsní zídky.

V podélném směru je horní povrch mostovky v konstantním stoupajícím sklonu 4,5%.

Není-li na výkrese uvedeno jinak, provede se zkosení hran 15x15 mm. Tvary jsou patrné z projektové dokumentace.

Materiály

BETON:

ZÁKLADY RÁMU:	C 30/37	XC2, XF2, XA1
KŘÍDLA:	C 30/37	XC4, XD1, XF2
RÁMOVÁ NOSNÁ KONSTRUKCE:	C 30/37	XC4, XD1, XF2
ŘÍMSY:	C 30/37	XC4, XD3, XF4

OCEL:

BETONÁŘSKÁ VÝZTUŽ:	B500
--------------------	------

POPIS STATICKÉHO VÝPOČTU A STATICKÁ ANALÝZA:

Statický výpočet řeší zejména:

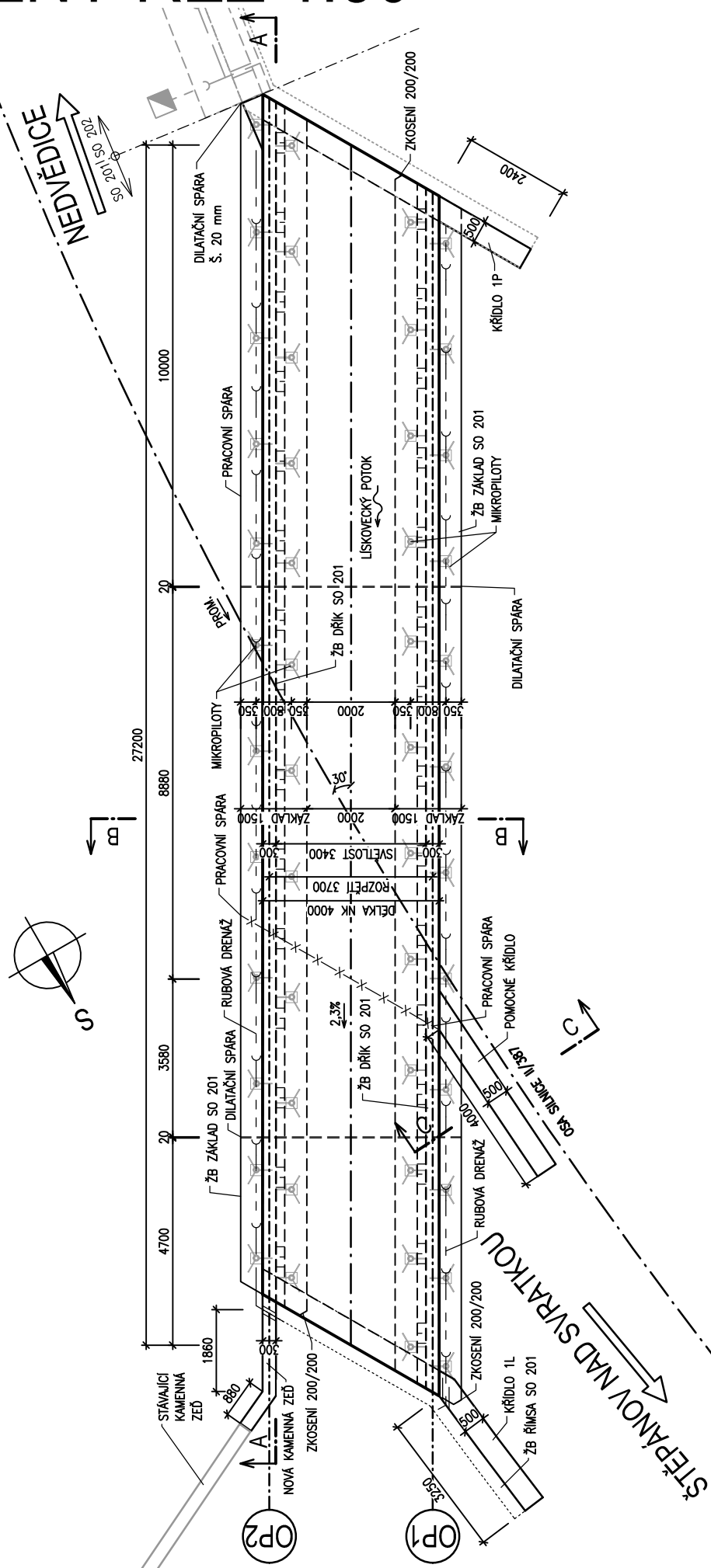
- posouzení základních žb. průřezů nosné konstrukce rámu
- posouzení únosnosti mikropilot

Posouzení je provedeno pro mezní stavy únosnosti, použitelnosti a montážní fáze dle evropských norem EC. Posudky žb. prvků jsou provedeny buď pomocí programu, nebo ručně. Statický model konstrukce pro účinky od stálého zatížení a dopravy, je tvořen jako deskostěna. Pro účinky od teploty, smrštění a brzdných sil byl vytvořen prutový model.

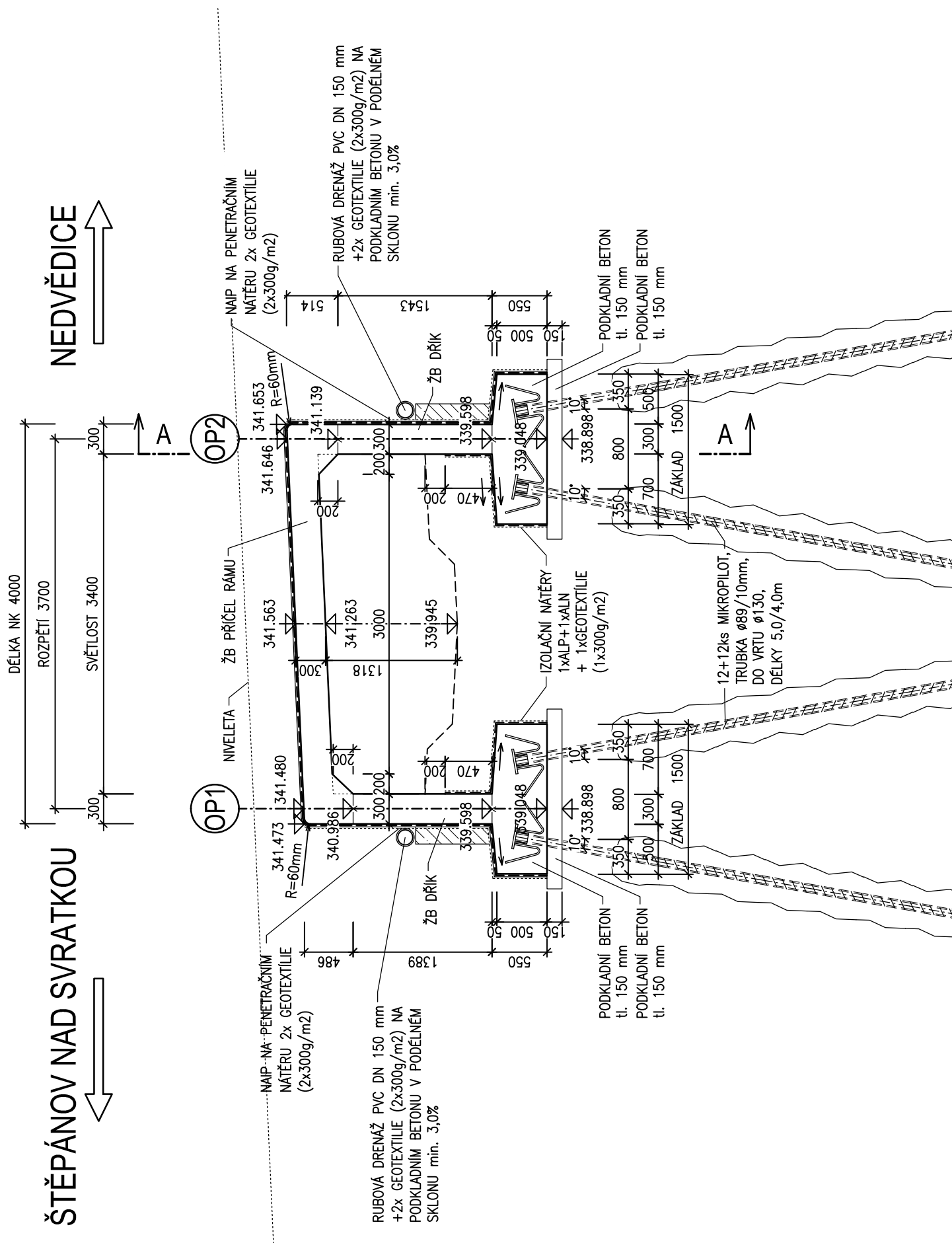
Posouzení základních žb. průřezů nosné konstrukce rámu

Jsou posouzeny rozhodující řezy na I. Mezní stav únosnosti (MSU) a II. Mezní stavy použitelnosti (MSP). Posudky jsou provedeny především pro namáhání ohybovým momentem a pro smykové namáhání.

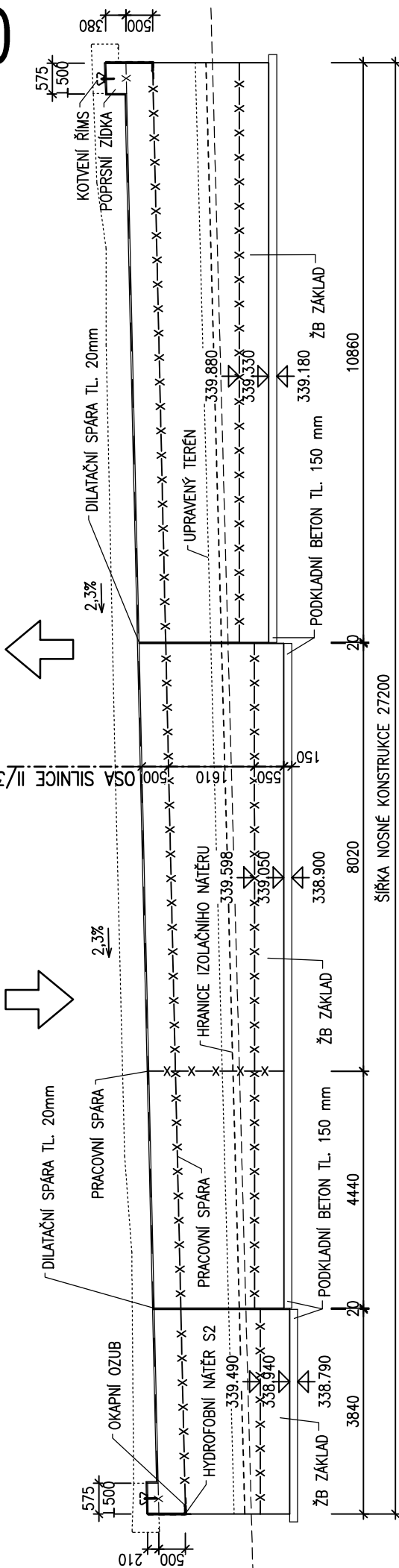
PODÉLNÝ ŘEZ 1:50



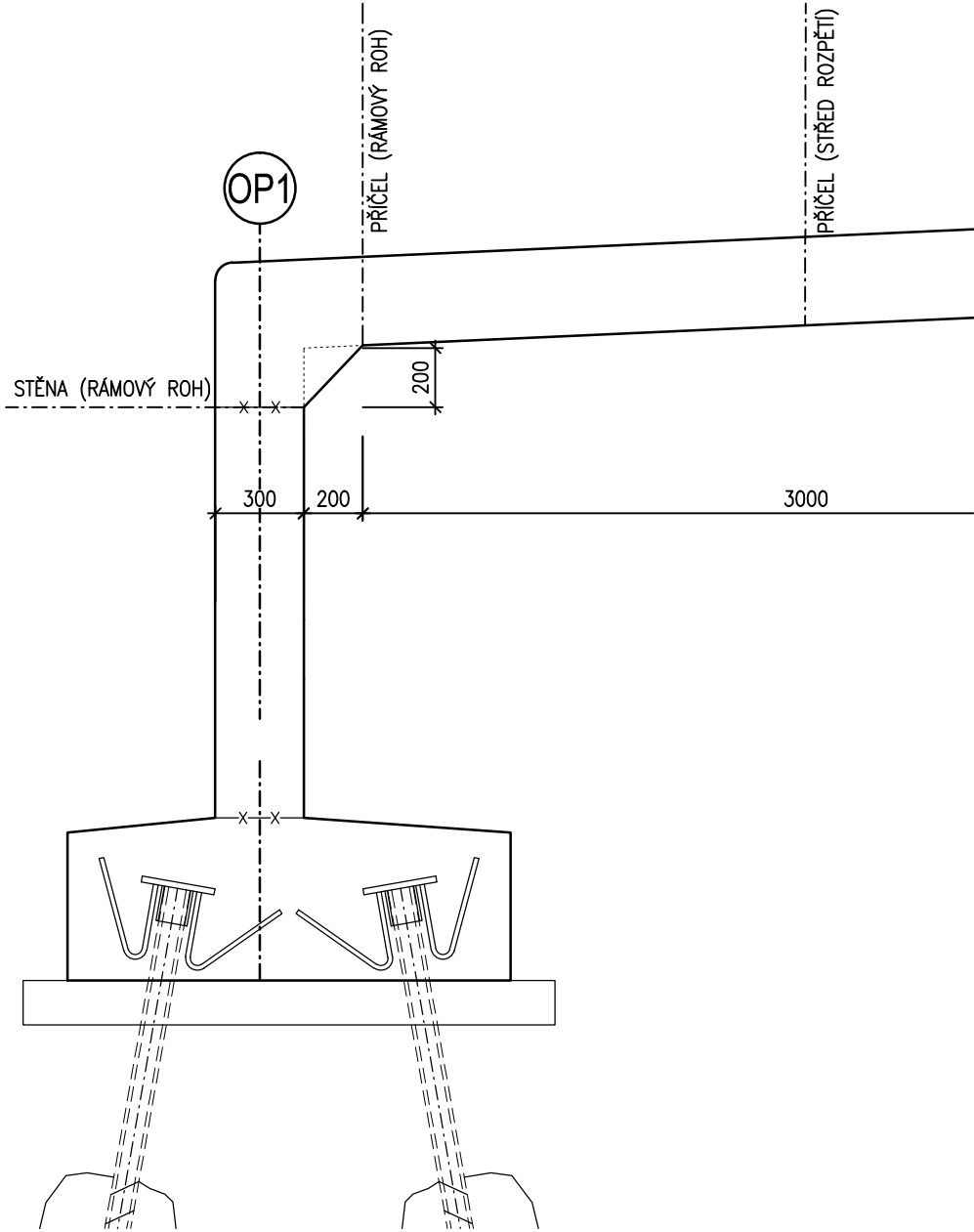
PODÉLNÝ ŘEZ



NEDVĚDICE



POSUZOVANÉ ŘEZY 1:25



ZATÍŽENÍ

1. ZATÍŽENÍ STÁLÁ

1.1. VLASTNÍ TÍHA NOSNÉ KONSTRUKCE

Generována systémem Scia Engineer 2010

Dána tvarovými charakteristikami nosné konstrukce mostu a objemovou hmotností betonu C 30/37

tj. 2500 kg/m³ =>

$\gamma_b = 25 \text{ kN/m}^3$

... železobeton

1.2. ZATÍŽENÍ OSTATNÍ STÁLÉ

1.2.1. Ochrana izolace

Objemová tíha materiálu

$\gamma_z = 23.0 \text{ kN/m}^3$

Tloušťka vrstvy

$h = 0.060 \text{ m}$

Svislé rovnoměrné zatížení

$\sigma_s = 1.38 \text{ kN/m}^2$

1.2.2. Vozovka

Nestmelené vrstvy vozovky na NK:

Objemová tíha materiálu

$\gamma_z = 20.0 \text{ kN/m}^3$

Tloušťka vrstvy

$h = 0.235 \text{ m}$

Svislé rovnoměrné zatížení

$\sigma_s = 4.70 \text{ kN/m}^2$

Součinitel zemního tlaku v klidu

$K_r = 1 - \sin \varphi_{ef} = 0.5$

Vodorovné přetížení svislých

$\sigma_s = 2.4 \text{ kN/m}^2$

Nestmelené vrstvy vozovky na NK:

Objemová tíha materiálu

$\gamma_z = 22.0 \text{ kN/m}^3$

Tloušťka vrstvy

$h = 0.150 \text{ m}$

Svislé rovnoměrné zatížení

$\sigma_s = 3.30 \text{ kN/m}^2$

1.2.3. Ostatní stálé celkem

$\sigma_s = 9.38 \text{ kN/m}^2$

1.2.4. Násypy a obsypy - zemní tlak

Základní údaje:

Objemová tíha zeminy

$\gamma_z = 20.0 \text{ kN/m}^3$

Úhel vnitřního tření (cca)

$\varphi_{ef} = 30^\circ$

Součinitel zemního tlaku v klidu

$K_r = 1 - \sin \varphi_{ef} = 0.50$

Zatížení zemním tlakem (lineárně roste s hloubkou)

$$\sigma_H = K_r \cdot \gamma_z \cdot h$$

Zemní tlak na rub stěn, resp. křídel v patě:

h [m]	σ_H [kN/m ²]
2.200	22.00
	0.00

Poznámka: Stěna nesmí být zasypána před provedením přičle.

2. ZATÍŽENÍ PROMĚNNÁ

2.1. ZATÍŽENÍ MOSTŮ DOPRAVOU

silnice III. třídy

Rozdělení mostovky do zatěžovacích pruhů:

Rozdělení vozovky do zatěžovacích pruhů (dle 4.2.3 a Tabulky 4.1)

... dle čl. 4.2.3 (2) je číslování a umístění pruhů voleno tak,

aby účinek od modelů zatížení byl co nejnepříznivější

... číslování je určeno podle nepříznivosti účinků (viz také 4.2.4 (4))

Dle tabulky ČSN EN 1991-2/NA ... tabulka NA.2.1 jsou dále uvažovány následující **regulační součinitele** pro skupinu pozemních komunikací 1 :
regulační součinitele

Skupina	α_{Q1}	α_{Q2}	α_{Q3}	α_{q1}	α_{q2}	α_{qi} ($i \geq 2$) a α_{qr}
1	1	1	1	1	2.4	1.2
2	0.8	0.8	0.8	0.45	1.6	1.6

$$\beta_Q = 1.0 \quad \dots = \alpha_{Q1}$$

Dotykový tlak kola je v celé ploše rovnoměrný.

Šířka vozovky 7,3 m

=> šířka zatěžovacího pruhu 3+3+1,3 m

2.1.1. SVISLÁ zatížení

2.1.1.1. Model zatížení 1 (LM1)

Soustředěná a rovnoměrná zatížení, která zahrnují většinu účinků dopravy osobními a nákladními vozidly.

... pro lokální i celková ověření

... pro jakoukoliv návrhovou situaci

Skládá se ze 2 dílčích sestav:

a) soustředěné zatížení od dvojnápravy (TS), každá náprava je o tíze $\alpha_Q \cdot Q_k$

b) rovnoměrné zatížení (UDL) o velikosti $\alpha_q \cdot q_k$

(pouze v nepříznivých částech příčinkových ploch)

V každém pruhu pouze 1 kompletní dvojnáprava pohybující se v ose pruhu pro celkové ověření.

Pro lokální ověření může jet mimo osu.

Každé kolo nápravy vyvozuje zatížení $0,5 \cdot \alpha_Q \cdot Q_k$

Kontaktní plocha kola 0,4x0,4 m.

Vzdálenost kol dvojnáprav ve dvou sousedních pruzích, nesmí být menší než 0,5 m.

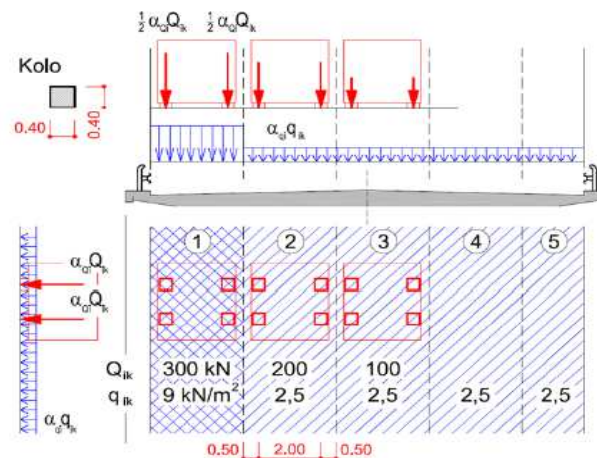
Zatížení jednotlivých pruhů

(charakteristické hodnoty včetně dynamického součinitele)

Umístění	Dvojnáprava (TS)	Rovn. zat. (ULD)
	Q_{ik} [kN]	q_{ik} (nebo q_{rk}) [kN/m ²]
Pruh č. 1	300	9
Pruh č. 2	200	2.5
Pruh z	-	2.5

po přenásobení regul. součiniteli:

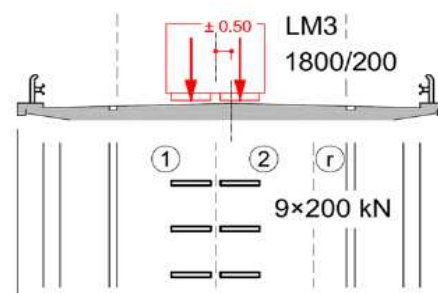
Umístění	Dvojnáprava (TS)	Rovn. zat. (ULD)
	Q_{ik} [kN]	q_{ik} (nebo q_{rk}) [kN/m ²]
Pruh č. 1	300	9.00
Pruh č. 2	200	6.0
Pruh z	0	3.0



2.1.1.2. Model zatížení 3 (LM3 - zvláštní vozidlo)

ZVLÁŠTNÍ VOZIDLA PRO SILNICE I. a II. TŘÍDY

Označení, celková tíha	1800/200, 1800 kN
Umístění zatížení	Zvláštní vozidlo se pohybuje v ideální stopě v prostoru všech zat. pruhů, přičemž se uvažuje možná odchylka od této polohy $\pm 0,50$ m.
Kombinace zatížení	Po celé délce mostu musí být vyloučena veškerá ostatní doprava.
Rychlost	Normální (≤ 70 km/hod)
Dynamický součinitel	$\phi = 1.25$
Poznámka	Jedná se o jediné vozidlo na mostě.



2.1.3. SESTAVY ZATÍŽENÍ DOPRAVOU

Dle 4.5.1 se každá sestava považuje za charakteristickou hodnotu zatížení pro kombinace se zatížením jiným než od dopravy.

Charakteristické hodnoty vícesložkových zatížení (tabulka 4.4a)

		Vozovka						Chodníky a cyklistické pruhy
Zatěžovací systém		Svislé síly				Vodorovné síly		jen svislé síly
		LM1	LM2	LM3	LM4	brzdné a rozjezdové	odstředivé a příčné	rovnoměrné zatížení
SESTAVY ZATÍŽENÍ	gr1a	charakter. hodnoty						3 kN/m ²
	gr1b		charakter. hodnota					
	gr2	časté hodnoty				charakter. hodnota	charakter. hodnota	
	gr3							charakter. hodnota
	gr4				charakter. hodnota			charakter. hodnota
	gr5	charak. hod. rovn.zatížení		charakter. hodnota				

3. ZATÍŽENÍ VEDLEJŠÍ

3.1. TEPLOTA

Typ konstrukce: 3

Součinitel tepelné roztažnosti betonu

$$\alpha = 10 \cdot 10^{-6} \text{ }^{\circ}\text{C}^{-1}$$

3.1.1. Rovnoměrná složka teploty

Maximální teplota vzduchu ve stínu

$$T_{\max} = 38 \text{ }^{\circ}\text{C}$$

Minimální teplota vzduchu ve stínu

$$T_{\min} = -32 \text{ }^{\circ}\text{C}$$

Maximální teplota mostu ve stínu

$$T_{e,\max} = T_{\max} + 1,5 = 39,5 \text{ }^{\circ}\text{C}$$

Minimální teplota mostu ve stínu

$$T_{e,\min} = T_{\min} + 8 = -24 \text{ }^{\circ}\text{C}$$

Výchozí teplota mostu

$$T_0 = 10,0 \text{ }^{\circ}\text{C}$$

Charakteristické hodnoty:

- prodloužení

$$\Delta T_{N,\exp} = T_{e,\max} - T_0 = 29,5 \text{ }^{\circ}\text{C}$$

- zkrácení

$$\Delta T_{N,\text{con}} = T_0 - T_{e,\min} = 34,0 \text{ }^{\circ}\text{C}$$

3.1.2. Nerovnoměrná složka teploty

Charakteristické hodnoty lineárních rozdílů teplot pro svršek tloušťky 50mm

$$\Delta T_{M,\text{heat}} = 15,0 \text{ }^{\circ}\text{C}$$

$$\Delta T_{M,\text{cool}} = 8,0 \text{ }^{\circ}\text{C}$$

Tloušťka mostního svršku

$$t = 500 \text{ mm}$$

Součinitele pro $t=90\text{mm}$

$$k_{\text{sur,heat}} = 0,6 -$$

$$k_{\text{sur,col}} = 1,0 -$$

Charakteristické hodnoty lineárních rozdílů teplot pro svršek tloušťky 90mm

Horní povrch teplejší než dolní

$$\Delta T_{M,\text{heat}} \cdot k_{\text{sur,heat}} = 9,0 \text{ }^{\circ}\text{C}$$

Dolní povrch teplejší než horní

$$\Delta T_{M,\text{cool}} \cdot k_{\text{sur,cool}} = 8,0 \text{ }^{\circ}\text{C}$$

$$\omega_N = 0,35 -$$

$$\omega_M = 0,75 -$$

3.1.3. Současné působení rovnoměrné a rozdílové složky teploty

$$\Delta T_{M,\text{heat}} + \omega_N \cdot \Delta T_{N,\exp} = 9 + 0,35 \cdot 29,5 = 19,3 \text{ }^{\circ}\text{C}$$

$$\Delta T_{M,\text{cool}} + \omega_N \cdot \Delta T_{N,\text{con}} = 8 + 0,35 \cdot 34 = 19,9 \text{ }^{\circ}\text{C}$$

$$\omega_M \cdot \Delta T_{M,\text{heat}} + \Delta T_{N,\exp} = 0,75 \cdot 9 + 29,5 = 36,3 \text{ }^{\circ}\text{C}$$

$$\omega_M \cdot \Delta T_{M,\text{cool}} + \Delta T_{N,\text{con}} = 0,75 \cdot 8 + 34 = 40,0 \text{ }^{\circ}\text{C}$$

3.2. SMRŠŤOVÁNÍ

$$\begin{aligned}\alpha_{ds1} &= 6 & f_{ck} &= 30 \text{ MPa} \\ \alpha_{ds2} &= 0.11 & f_{cm} &= 38 \text{ MPa} \\ RH &= 80 \% & f_{cm,0} &= 10 \text{ MPa} \\ RH_0 &= 100 \%\end{aligned}$$

Byly uvažovány tyto časové okamžiky:

$$\begin{aligned}\text{Vybetonování NK} & & t_0 &= 2 \text{ dny} \\ \text{Vnesení ostatního stálého zatížení} & & t_1 &= 30 \text{ dní} \\ \text{Uvedení do provozu} & & t_q &= 90 \text{ dní} \\ \text{Ukončení smršťování (životnost 100let)} & & t_\infty &= 36500 \text{ dní}\end{aligned}$$

3.2.1. Smršťování vysycháním

3.2.1.1. Základní poměrné přetvoření vysycháním

$$\begin{aligned}\beta_{RH} &= 1,55 \cdot [1 - (RH/RH_0)^3] = \\ &= 0.76\end{aligned}$$

$$\begin{aligned}\epsilon_{cd,0} &= 0,85 \cdot [(220 + 110 \cdot \alpha_{ds1}) \cdot \exp(-\alpha_{ds2} \cdot (f_{cm} / f_{cm0}))] \cdot 10^{-6} \cdot \beta_{RH} \\ &= 0.000372\end{aligned}$$

$$\begin{aligned}\text{Průřezová plocha betonu} & & A_c &= 8.21 \text{ m}^2 \\ \text{Obvod vystavený vysychání} & & u &= 27.80 \text{ m} \\ \text{Náhradní rozměr průřezu} & h_0 = 2 A_c / u = 2 \cdot 8.214 / 27.8 = & 591 \text{ mm}\end{aligned}$$

3.2.1.2. Vývoj vysychání v čase

$$\begin{aligned}\text{Stáří betonu v uvažovaném okamžiku} & & t \\ \text{Stáří betonu na počátku smršťování} & & t_s = t_0\end{aligned}$$

$$\text{Součinitel záležitosti na náhradní tloušťce} \quad k_h = 0.70$$

$$\beta_{ds}(t, t_s) = (t - t_s) / [(t - t_s) + 0,04 \cdot (h_0^3)^{0.5}]$$

$$\epsilon_{cd}(t) = \beta_{ds}(t, t_s) \cdot k_h \cdot \epsilon_{cd,0}$$

Tabulka vývoje vysychání v čase:

čas	$\beta_{ds}(t, t_s)$	$\epsilon_{cd}(t)$
t_1	0.046	0.000012
t_q	0.133	0.000035
t_∞	0.985	0.000257

3.2.2. Autogenní smršťování

$$\varepsilon_{ca}(\infty) = 2,5 \cdot (f_{ck} - 10) \cdot 10^{-6}$$

$$\beta_{as}(t) = 1 - \exp(-0,2 \cdot t^{0,5})$$

$$\varepsilon_{ca}(t) = \beta_{as}(t) \cdot \varepsilon_{ca}(\infty)$$

Tabulka vývoje autogenního smršťování v čase:

čas	$\varepsilon_{ca}(\infty)$	$\beta_{as}(t)$	$\varepsilon_{ca}(t)$
t_1	0.000050	0.666	0.000033
t_q		0.850	0.000043
t_∞		1.000	0.000050

3.2.3. Celkové smrštění

$$\varepsilon_{cs} = \varepsilon_{cd} + \varepsilon_{ca}$$

Tabulka celkového smršťování v čase:

čas	$\varepsilon_{cd}(t)$	$\varepsilon_{ca}(\infty)$	ε_{cs}
t_1	0.000012	0.000033	0.000045
t_q	0.000035	0.000043	0.000077
t_∞	0.000257	0.000050	0.000307

3.3. POKLESY PODPOR

Nejsou uvažovány, jedná se o stabilní základové podmínky.

VNITŘNÍ SÍLY - jednotlivé zatěžovací stavy

šířka NK 12.46 m

		vl.tíha ost.stálé obsyp	smršťování t _∞ = 100let	LM1				LM3 char.	teplota			
				charakteristická		kombinační (ψ ₀)			rovnom.		nerovn.	
				TS	UDL	TS	UDL		R +29.5 (exp)	R -34 (con)	NR +9/0 (heat)	NR 0/+8 (cool)
stěna (rámový roh)	m _D / kNm/m	-14	6	-5	-1	-4	0	-4	-5	6	17	16
	n / kN/m	-32	0	-102	-14	0	0	-76	0	0	0	0
	v / kN/m	-33	7	0	0	0	0	0	7	8	7	8
příčel (rámový roh)	m _D / kNm/m	-10	8	-21	-2	-15	-1	-10	-8	9	19	19
	n / kN/m	-19	7	-11	-1	0	0	-13	-7	8	7	8
	v / kN/m	-26	0	-99	-12	-74	-5	-54	0	0	0	0
příčel (střed)	m _D / kNm/m	11	8	65	8	49	3	30	-8	9	19	19
	n / kN/m	-20	7	-13	-1	0.0	0.0	-21	-7	8	7	8
	v / kN/m	-2	0	-6	0	0.0	0.0	-2	0	0	0	0

VNITŘNÍ SÍLY - souhrn

						charakteristické hodnoty pro komb. 6.10b							
		vl.tíha ost.stálé obsyp	smršťování t _∞ = 100let	stálé to	stálé too	gr1a	gr2		gr5	teplota			
						LM1	LM1		LM3	rovnom.		nerovn.	
						min/max	min	max	min/max	R +29.5 (exp)	R -34 (con)	NR +10.5/0 (heat)	NR 0/+8 (cool)
stěna <i>(rámový roh)</i>	mD / kNm/m	-14	5.7	-14	-9	-6			-4	-5	6	17	16
	n / kN/m	-32	0.0	-32	-32	-116			-76	0	0	0	0
	v / kN/m	-33	6.9	-33	-26	0			0	7	8	7	8
příčel <i>(rámový roh)</i>	mD / kNm/m	-10	8.1	-10	-2	-22			-10	-8	9	19	19
	n / kN/m	-19	6.9	-19	-12	-11			-13	-7	8	7	8
	v / kN/m	-26	0.0	-26	-26	-111			-54	0	0	0	0
příčel <i>(střed vlevo)</i>	mD / kNm/m	11	8.1	11	19	73			30	-8	9	19	19
	n / kN/m	-20	6.9	-20	-13	-14			-21	-7	8	7	8
	v / kN/m	-2	0.0	-2	-2	-6			-2	0	0	0	0

$$\xi = 0.85$$

Zatížení	γ_{sup}	γ_{supinf}	ψ_0	ψ_1	ψ_2
Stálé	1.35	1.00			
Nahodilé dopravou	1.35	0.00			
Ostatní nahodilé	1.50	0.00			
LM1 TS			0.75	0.75	0.00
LM1 UDL			0.40	0.40	0.00
LM3			0.00	0.00	0.00
TEPLOTA			0.60	0.60	0.50
gr2 - vodorovné síly			0.00	0.00	0.00

ČSN EN 1990/A1 - tabulka A2.4(B) - Návrhové hodnoty zatížení (STR/GEO) (Soubor B)

Trvalé a dočasné návrhové situace	Stálá zatížení		Předpětí	Hlavní proměnné zatížení (*)	Vedlejší proměnná zatížení (*)	
	Nepříznivá	Příznivá			Nejúčinější (pokud se vyskytuje)	Ostatní
(Výraz 6.10)	$\gamma_{Gj,sup} \cdot G_{kj,sup}$	$\gamma_{Gj,inf} \cdot G_{kj,inf}$	$\gamma_P \cdot P$	$\gamma_{Q1} \cdot Q_{k,1}$		$\gamma_{Q,j} \cdot \psi_{0,j} \cdot Q_{k,1}$
(Výraz 6.10a)	$\gamma_{Gj,sup} \cdot G_{kj,sup}$	$\gamma_{Gj,inf} \cdot G_{kj,inf}$	$\gamma_P \cdot P$		$\gamma_{Q,1} \cdot \psi_{0,1} \cdot Q_{k,1}$	$\gamma_{Q,j} \cdot \psi_{0,j} \cdot Q_{k,1}$
(Výraz 6.10b)	$\xi \cdot \gamma_{Gj,sup} \cdot G_{kj,sup}$	$\gamma_{Gj,inf} \cdot G_{kj,inf}$	$\gamma_P \cdot P$	$\gamma_{Q1} \cdot Q_{k,1}$		$\gamma_{Q,j} \cdot \psi_{0,j} \cdot Q_{k,1}$

KOMBINACE MSU 6.10b

kobinace pro mD, v

řez	komb. 6.10b	stálé		vozidlo	teplota	komb. MSU
		to	too			
stěna (rámový roh)	mD / kNm/m	-17	-10	-8	15	-10
	n / kN/m	-37	-37	-157	0	-194
	v / kN/m	-38	-30	1	7	-30
příčel (rámový roh)	mD / kNm/m	-12	-3	-30	17	-25
	n / kN/m	-22	-14	-16	7	-30
	v / kN/m	-30	-30	-150	0	-180
příčel (střed vlevo)	mD / kNm/m	12	22	99	17	138
	n / kN/m	-23	-15	-18	7	-34
	v / kN/m	-2	-2	-8	0	-10

· kombinace 6.10b je rozhodující pro MSU

konvence ohybových momentů

+...tažená vnitřní vlákna rámu

-...tažená vnější vlákna rámu

kobinace pro v_z

řez	komb. 6.10b	stálé	vozidlo	teplota	komb. MSU
stěna (rámový roh)	mxD / kNm/m	-17	-8	15	-10
	nx / kN/m	-37	-157	0	-194
	vz / kN/m	-38	1	7	-30
příčel (rámový roh)	mxD / kNm/m	-12	-30	17	-25
	nx / kN/m	-22	-16	6	-31
	vz / kN/m	-30	-150	0	-180

Obsah

- 1 Data projektu
- 2 Posouzení řezů
- 2.1 Řez příčel střed
- 3 Seznam použitých materiálů

1 Data projektu

Název projektu	II-387 křiž. S I-19 - hr. kraje, Ujčov most ev.č. 387-011
Projekt číslo	18156
Autor	Ing. Jonáš Gratza
Datum vytvoření protokolu	09.04.2019
Verze	9.0.36.49899

Národní norma

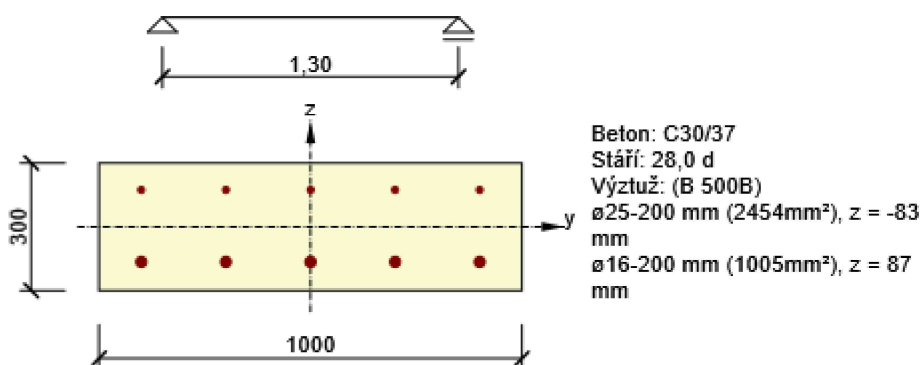
Národní norma	EN 1992-1-1:2014-12, CSN:2016-04/NA:2012-01
Návrhová životnost	100 let

2 Posouzení řezů

2.1 Řez příčel střed

2.1.1 Extrém S 1 - E 1

Dimenzační dílec	M 1
Vyztužený průřez	R 1



2.1.1.1 Účinky zatížení - vnitřní síly

Typ zatížení	Typ kombinace	N [kN]	V _y [kN]	V _z [kN]	T [kNm]	M _y [kNm]	M _z [kNm]
Celkové	Základní MSÚ	-34,0	0,0	-10,0	0,0	138,0	0,0
Celkové	Charakteristická	0,0	0,0	0,0	0,0	104,0	0,0

2.1.1.2 Souhrn

Rozhodující typ posudku	N _{Ed} [kN]	M _{Ed,y} [kNm]	M _{Ed,z} [kNm]	V _{Ed} [kN]	T _{Ed} [kNm]	Hodnota [%]	Posudek
Omezení napětí	0,0	104,0	0,0			78,6	OK
Typ posudku	N _{Ed} [kN]	M _{Ed,y} [kNm]	M _{Ed,z} [kNm]	V _{Ed} [kN]	T _{Ed} [kNm]	Hodnota [%]	Posudek
Únosnost N-M-M	-34,0	138,0	0,0			62,2	OK
Smyk	-34,0			10,0	0,0	5,7	OK
Interakce	-34,0	138,0	0,0	10,0	0,0	59,4	OK
Omezení napětí	0,0	104,0	0,0			78,6	OK
Šířka trhliny	0,0	0,0	0,0			0,0	Neprovedeno
Ohybová štíhlost	0,0	0,0	0,0			0,0	OK

Mezní hodnota využití průřezu: 100,0 %

2.1.1.3 Únosnost N-M-M

Výsledky prezentovány pro kombinaci : Základní MSÚ

N_{Ed} [kN]	$M_{Ed,y}$ [kNm]	$M_{Ed,z}$ [kNm]	Typ	Hodnota [%]	Mez [%]	Posudek
-34,0	138,0	0,0	Nu-Mu-Mu	62,2	100,0	OK

Návrhová únosnost při působení ohybového momentu a normálové síly

Typ	F_{Ed}	F_{Rd1}	F_{Rd2}
N [kN]	-34,0	-54,7	26,8
M_y [kNm]	138,0	222,0	-108,8
M_z [kNm]	0,0	0,0	0,0

2.1.1.4 Smyk

Výsledky prezentovány pro kombinaci : Základní MSÚ

V_{Ed} [kN]	N_{Ed} [kN]	V_{Rd} [kN]	Posudek zóny	Článek	Hodnota [%]	Mez [%]	Posudek
10,0	-34,0	174,1	bez redukce	6.2.2(1)	5,7	100,0	OK

Návrhové hodnoty posouvající síly a únosnosti ve smyku

V_{Ed} [kN]	$V_{Rd,c}$ [kN]	$V_{Rd,max}$ [kN]	$V_{Rd,r}$ [kN]	$V_{Rd,s}$ [kN]	V_{Rd} [kN]
10,0	174,1	1008,2	1104,8	0,0	174,1

Vstupní hodnoty a mezivýsledky posouzení smyku

n_c	a_{sw} [mm ² /m]	A_{sl} [mm ²]	b_w [mm]	d [mm]	z [mm]	θ [°]	α [°]	α_{cw} [-]
0	0	2454	1000	233	198	35,0	90,0	1,01
$C_{Rd,c}$ [-]	k [-]	k_1 [-]	ρ_l [-]	σ_{cp} [MPa]	σ_{wd} [MPa]	V_{min} [MPa]	v [-]	v_1 [-]
0,12	1,93	0,15	0,01	0,1	0,0	0,5	0,53	0,60

2.1.1.5 Interakce

Výsledky prezentovány pro kombinaci : Základní MSÚ

N_{Ed} [kN]	M_{Edy} [kNm]	M_{Edz} [kNm]	V_{Ed} [kN]	T_{Ed} [kNm]	Hodnota V+T [%]	Hodnota V+T+M [%]	Hodnota [%]	Mez [%]	Posudek
-34,0	138,0	0,0	10,0	0,0	5,7	59,4	59,4	100,0	OK

Posouzení interakce posouvající síly a kroucení (beton)

$V_{Rd,c}$ [kN]	$T_{Rd,c}$ [kNm]	$V_{Rd,max}$ [kN]	$T_{Rd,max}$ [kNm]	rce. 6.31 [%]	rce. 6.29 [%]	Hodnota [%]	Mez [%]	Posudek
174,1	0,0	1008,2	0,0	5,7	1,0	5,7	100,0	OK

Posouzení interakce posouvající síly, kroucení, ohybu a normálové síly

F_b [kN]	$\Delta F_{td,s}$ [kN]	$\Delta F_{td,t}$ [kN]	$\Delta \epsilon_s$ [1e-4]	$\Delta \epsilon_t$ [1e-4]	Extrém ve vložce	Hodnota [%]	Mez [%]	Posudek
619,0	14,3	0,0	0,0	0,0	7	59,4	100,0	OK

Podrobné posouzení výztuže

Vložka	y_i [mm]	z_i [mm]	$\Delta \epsilon_{st}$ [1e-4]	ϵ [1e-4]	ϵ_{lim} [1e-4]	$\Delta \sigma_{st}$ [MPa]	σ [MPa]	σ_{lim} [MPa]	Hodnota [%]	Posudek
--------	---------------	---------------	----------------------------------	----------------------	----------------------------	-------------------------------	-------------------	-------------------------	----------------	---------

Vložka	y_i [mm]	z_i [mm]	$\Delta \epsilon_{st}$ [1e-4]	ϵ [1e-4]	ϵ_{lim} [1e-4]	$\Delta \sigma_{st}$ [MPa]	σ [MPa]	σ_{lim} [MPa]	Hodnota [%]	Posudek
7	-400	-83	0,0	13,8	450,0	0,0	276,6	465,9	59,4	OK

2.1.1.6 Omezení napětí

Omezení napětí - krátkodobé účinky

Typ posudku	Část průřezu	Index	σ [MPa]	σ_{lim} [MPa]	Hodnota [%]	Mez [%]	Posudek
7.2(2)-Char	Vláknobetonu	3	-14,1	-18,0	78,6	100,0	OK

Omezení napětí - dlouhodobé účinky

Typ posudku	Část průřezu	Index	σ [MPa]	σ_{lim} [MPa]	Hodnota [%]	Mez [%]	Posudek
7.2(5)-Char	Výztužná vložka	7	216,9	400,0	54,2	100,0	OK

Podrobné posouzení betonu - krátkodobé účinky

Typ posudku	Vláknobetonu	y_i [mm]	z_i [mm]	N [kN]	M_y [kNm]	M_z [kNm]	σ [MPa]	σ_{lim} [MPa]	Hodnota [%]	Posudek
7.2(2)-Char	3	500	150	0,0	104,0	0,0	-14,1	-18,0	78,6	OK

Podrobné posouzení výztuže - krátkodobé účinky

Typ posudku	Vložka	y_i [mm]	z_i [mm]	N [kN]	M_y [kNm]	M_z [kNm]	σ [MPa]	σ_{lim} [MPa]	Hodnota [%]	Posudek
7.2(5)-Char	7	-400	-83	0,0	104,0	0,0	203,0	400,0	50,7	OK

Podrobné posouzení betonu - dlouhodobé účinky

Typ posudku	Vláknobetonu	y_i [mm]	z_i [mm]	N [kN]	M_y [kNm]	M_z [kNm]	σ [MPa]	σ_{lim} [MPa]	Hodnota [%]	Posudek
7.2(2)-Char	3	500	150	0,0	104,0	0,0	-9,3	-18,0	51,6	OK

Podrobné posouzení výztuže - dlouhodobé účinky

Typ posudku	Vložka	y_i [mm]	z_i [mm]	N [kN]	M_y [kNm]	M_z [kNm]	σ [MPa]	σ_{lim} [MPa]	Hodnota [%]	Posudek
7.2(5)-Char	7	-400	-83	0,0	104,0	0,0	216,9	400,0	54,2	OK

Součinitel dotvarování

Způsob určení	h_0 [mm]	A_c [mm ²]	u [mm]	t [d]	t_0 [d]	t_s [d]	RH [%]	Použití γ_{lt}	$\varphi(t, t_0)$ [-]
Automatické	231	300000	2600	36500,0	28,0	7,0	65	Ne	1,95

2.1.1.7 Konstrukční zásady

Výsledky prezentovány pro kombinaci : Základní MSÚ

N_{Ed} [kN]	$M_{Ed,y}$ [kNm]	$M_{Ed,z}$ [kNm]	Využití _{pod} [%]	Rozhodující [%]	Mez [%]	Posudek
-34,0	138,0	0,0	66,7	66,7	100,0	OK

Kontrola konstrukčních zásad pro podélnou výztuž

Typ	Hodnota _{vyp}	Hodnota _{mez}	Využití [%]	Posudek
Minimální stupeň vyztužení hlavní výztuží, 9.3.1.1 (1) [%]	1,06	0,15	14,3	OK
Maximální stupeň vyztužení hlavní výztuží, 9.3.1.1 (1) [%]	1,15	4,00	28,8	OK
Minimální světlá vzdálenost hlavní výztuže, 8.2 (2) [mm]	175	30	17,1	OK

Projekt: II-387 křiž. S I-19 - hr. kraje, Ujčov most ev.č. 387-011

Projekt číslo: 18156

Autor: Ing. Jonáš Gratza

Typ	Hodnota _{vyp}	Hodnota _{mez}	Využití [%]	Posudek
Maximální osová vzdálenost hlavní výztuže, 9.3.1.1 (3) [mm]	200	300	66,7	OK

Vstupní hodnoty a mezivýsledky posouzení konstrukčních zásad

b_w [mm]	d [mm]	A_c [mm ²]	$b_t * d$ [mm ²]	f_{yk} [MPa]	f_{yd} [MPa]	f_{ck} [MPa]	f_{ctm} [MPa]	f_{cd} [MPa]
1000	233	300000	0	500,0	434,8	30,0	2,9	18,0

3 Seznam použitých materiálů

Beton

Název	f_{ck} [MPa]	f_{cm} [MPa]	f_{ctm} [MPa]	E_{cm} [MPa]	μ [-]	Jednotková hmotnost [kg/m ³]
C30/37	30,0	38,0	2,9	32836,6	0,20	2500
$\epsilon_{c2} = 20,0 \cdot 10^{-4}$, $\epsilon_{cu2} = 35,0 \cdot 10^{-4}$, $\epsilon_{c3} = 17,5 \cdot 10^{-4}$, $\epsilon_{cu3} = 35,0 \cdot 10^{-4}$, Exponent - n: 2,00, Rozměr zrna kameniva = 16 mm, Třída cementu: R (s = 0,20), Typ diagramu: Parabolický						

Vysvětlení

Symbol	Vysvětlení
f_{ck}	Charakteristická válcová pevnost betonu v tlaku ve stáří 28 dní
f_{cm}	Průměrná hodnota válcové pevnosti betonu v tlaku
f_{ctm}	Průměrná hodnota pevnosti betonu v dostředném tahu
E_{cm}	Sečnový modul pružnosti betonu
ϵ_c	Poměrné přetvoření betonu v tlaku při dosažení maximálního napětí f_c
ϵ_{cu}	Mezní poměrné přetvoření betonu v tlaku

Betonářská ocel

Název	f_{yk} [MPa]	f_{tk} [MPa]	E [MPa]	μ [-]	Jednotková hmotnost [kg/m ³]
B 500B	500,0	540,0	200000,0	0,20	7850
$f_{tk}/f_{yk} = 1,08$, $\epsilon_{uk} = 500,0 \cdot 10^{-4}$, Typ: Vložky, Povrch výztuže: Žebírkový, Třída: B, Výroba: Za tepla válcovaná, Typ diagramu: Bilineární se stoupající horní větví					

Vysvětlení

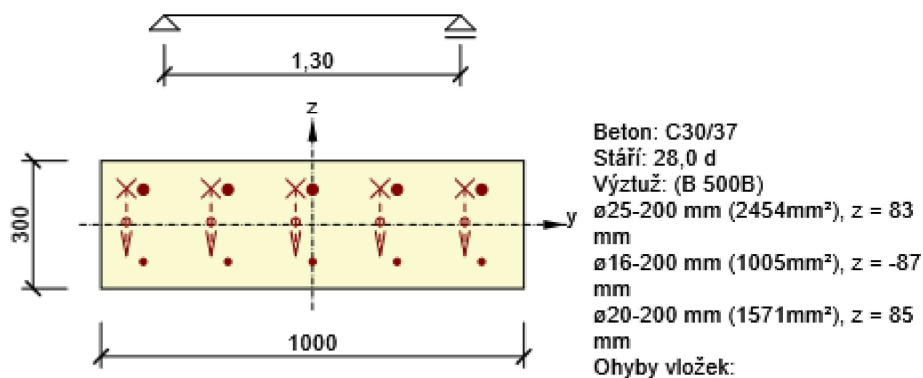
Symbol	Vysvětlení
f_{yk}	Charakteristická mez kluzu betonářské výztuže
f_{tk}	Charakteristická pevnost v tahu betonářské výztuže
E	Modul pružnosti výztužné oceli
ϵ_{uk}	Charakteristické poměrné přetvoření betonářské nebo předpínací oceli při maximálním zatížení

1 Posouzení řezů

1.1 Řez příčel rámový roh

1.1.1 Extrém S 2 - E 1

Dimenzační dílec	M 2
Vyztužený průřez	R 2



1.1.1.1 Účinky zatížení - vnitřní síly

Typ zatížení	Typ kombinace	N [kN]	V _y [kN]	V _z [kN]	T [kNm]	M _y [kNm]	M _z [kNm]
Celkové	Základní MSÚ	-30,0	0,0	-180,0	0,0	-25,0	0,0
Celkové	Charakteristická	-23,0	0,0	0,0	0,0	-13,0	0,0

1.1.1.2 Souhrn

Rozhodující typ posudku	N _{Ed} [kN]	M _{Ed,y} [kNm]	M _{Ed,z} [kNm]	V _{Ed} [kN]	T _{Ed} [kNm]	Hodnota [%]	Posudek
Smyk	-30,0			180,0	0,0	40,4	OK
Typ posudku	N _{Ed} [kN]	M _{Ed,y} [kNm]	M _{Ed,z} [kNm]	V _{Ed} [kN]	T _{Ed} [kNm]	Hodnota [%]	Posudek
Únosnost N-M-M	-30,0	-25,0	0,0			10,3	OK
Smyk	-30,0			180,0	0,0	40,4	OK
Interakce	-30,0	-25,0	0,0	180,0	0,0	26,3	OK
Omezení napětí	-23,0	-13,0	0,0			5,0	OK
Šířka trhliny	0,0	0,0	0,0			0,0	Neprovedeno
Ohybová štíhlost	0,0	0,0	0,0			0,0	OK

Mezní hodnota využití průřezu: 100,0 %

1.1.1.3 Únosnost N-M-M

Výsledky prezentovány pro kombinaci : Základní MSÚ

N_{Ed} [kN]	$M_{Ed,y}$ [kNm]	$M_{Ed,z}$ [kNm]	Typ	Hodnota [%]	Mez [%]	Posudek
-30,0	-25,0	0,0	Nu-Mu-Mu	10,3	100,0	OK

Návrhová únosnost při působení ohybového momentu a normálové síly

Typ	F_{Ed}	F_{Rd1}	F_{Rd2}
N [kN]	-30,0	-290,2	120,7
M_y [kNm]	-25,0	-241,8	100,6
M_z [kNm]	0,0	0,0	0,0

1.1.1.4 Smyk

Výsledky prezentovány pro kombinaci : Základní MSÚ

V_{Ed} [kN]	N_{Ed} [kN]	V_{Rd} [kN]	Posudek zóny	Článek	Hodnota [%]	Mez [%]	Posudek
180,0	-30,0	445,5	bez redukce	6.2.3(3)	40,4	100,0	OK

Návrhové hodnoty posouvající síly a únosnosti ve smyku

V_{Ed} [kN]	$V_{Rd,c}$ [kN]	$V_{Rd,max}$ [kN]	$V_{Rd,r}$ [kN]	$V_{Rd,s}$ [kN]	V_{Rd} [kN]
180,0	173,6	1718,9	1104,8	445,5	445,5

Vstupní hodnoty a mezivýsledky posouzení smyku

n_c	a_{sw} [mm ² /m]	A_{sl} [mm ²]	b_w [mm]	d [mm]	z [mm]	θ [°]	α [°]	α_{cw} [-]
5	3272	2454	1000	233	198	35,0	90,0	1,01
$C_{Rd,c}$ [-]	k [-]	k_1 [-]	ρ_l [-]	σ_{cp} [MPa]	σ_{wd} [MPa]	v_{min} [MPa]	v [-]	v_1 [-]
0,12	1,93	0,15	0,01	0,1	161,6	0,5	0,53	0,60

Vstupní hodnoty a mezivýsledky posouzení ohybů

n_b [-]	a_{swb} [mm ² /m]	α_b [°]	c [mm]	$V_{Rd,sb}$ [kN]
5,01	3272	45,0	481	445,5

1.1.1.5 Interakce

Výsledky prezentovány pro kombinaci : Základní MSÚ

N_{Ed} [kN]	M_{Edy} [kNm]	M_{Edz} [kNm]	V_{Ed} [kN]	T_{Ed} [kNm]	Hodnota V+T [%]	Hodnota V+T+M [%]	Hodnota [%]	Mez [%]	Posudek
-30,0	-25,0	0,0	180,0	0,0	26,3	9,5	26,3	100,0	OK

Posouzení interakce posouvající síly a kroucení (beton)

$V_{Rd,c}$ [kN]	$T_{Rd,c}$ [kNm]	$V_{Rd,max}$ [kN]	$T_{Rd,max}$ [kNm]	rce. 6.31 [%]	rce. 6.29 [%]	Hodnota [%]	Mez [%]	Posudek
173,6	0,0	1718,9	0,0	103,7	10,5	10,5	100,0	OK

Posouzení interakce posouvající síly a kroucení (podélná výztuž)

A_{sl} [mm ²]	F_{sl} [kN]	$F_{sl,lim}$ [kN]	Hodnota [%]	Mez [%]	Posudek
3460	257,1	1612,0	15,9	100,0	OK

Posouzení interakce posouvající síly a kroucení (smyková výztuž)

a_{sw} [mm ² /m]	F_{sw} [kN]	$F_{sw,lim}$ [kN]	Hodnota [%]	Mez [%]	Posudek
654	74,8	284,6	26,3	100,0	OK

Posouzení interakce posouvající síly, kroucení, ohybu a normálové síly

F_b [kN]	$\Delta F_{td,s}$ [kN]	$\Delta F_{td,t}$ [kN]	$\Delta \epsilon_s$ [1e-4]	$\Delta \epsilon_t$ [1e-4]	Extrém ve vložce	Hodnota [%]	Mez [%]	Posudek
98,1	257,1	0,0	0,0	0,0	1	9,5	100,0	OK

Podrobné posouzení výztuže

Vložka	y_i [mm]	z_i [mm]	$\Delta \epsilon_{st}$ [1e-4]	ϵ [1e-4]	ϵ_{lim} [1e-4]	$\Delta \sigma_{st}$ [MPa]	σ [MPa]	σ_{lim} [MPa]	Hodnota [%]	Posudek
1	-400	83	0,0	2,2	450,0	0,0	44,3	465,9	9,5	OK

1.1.1.6 Omezení napětí

Omezení napětí - krátkodobé účinky

Typ posudku	Část průřezu	Index	σ [MPa]	σ_{lim} [MPa]	Hodnota [%]	Mez [%]	Posudek
7.2(2)-Char	Vláknó betonu	1	-0,9	-18,0	5,0	100,0	OK

Omezení napětí - dlouhodobé účinky

Typ posudku	Část průřezu	Index	σ [MPa]	σ_{lim} [MPa]	Hodnota [%]	Mez [%]	Posudek
7.2(2)-Char	Vláknó betonu	1	-0,8	-18,0	4,6	100,0	OK

Podrobné posouzení betonu - krátkodobé účinky

Typ posudku	Vláknó	y_i [mm]	z_i [mm]	N [kN]	M_y [kNm]	M_z [kNm]	σ [MPa]	σ_{lim} [MPa]	Hodnota [%]	Posudek
7.2(2)-Char	1	-500	-150	-23,0	-13,0	0,0	-0,9	-18,0	5,0	OK

Podrobné posouzení výztuže - krátkodobé účinky

Typ posudku	Vložka	y_i [mm]	z_i [mm]	N [kN]	M_y [kNm]	M_z [kNm]	σ [MPa]	σ_{lim} [MPa]	Hodnota [%]	Posudek
7.2(5)-Char	1	-400	83	-23,0	-13,0	0,0	2,2	400,0	0,6	OK

Podrobné posouzení betonu - dlouhodobé účinky

Typ posudku	Vláknó	y_i [mm]	z_i [mm]	N [kN]	M_y [kNm]	M_z [kNm]	σ [MPa]	σ_{lim} [MPa]	Hodnota [%]	Posudek
7.2(2)-Char	1	-500	-150	-23,0	-13,0	0,0	-0,8	-18,0	4,6	OK

Podrobné posouzení výztuže - dlouhodobé účinky

Typ posudku	Vložka	y_i [mm]	z_i [mm]	N [kN]	M_y [kNm]	M_z [kNm]	σ [MPa]	σ_{lim} [MPa]	Hodnota [%]	Posudek
7.2(5)-Char	1	-400	83	-23,0	-13,0	0,0	5,6	400,0	1,4	OK

Součinitel dotvarování

Způsob určení	h_0 [mm]	A_c [mm ²]	u [mm]	t [d]	t_0 [d]	t_s [d]	RH [%]	Použit γ_{lt}	$\varphi(t, t_0)$ [-]
---------------	---------------	-----------------------------	-------------	------------	--------------	--------------	-----------	----------------------	--------------------------

Způsob určení	h_0 [mm]	A_c [mm ²]	u [mm]	t [d]	t_0 [d]	t_s [d]	RH [%]	Použití γ_{lt}	$\varphi(t, t_0)$ [-]
Automatické	231	300000	2600	36500,0	28,0	7,0	65	Ne	1,95

1.1.1.7 Konstrukční zásady

Výsledky prezentovány pro kombinaci : Základní MSÚ

N_{Ed} [kN]	$M_{Ed,y}$ [kNm]	$M_{Ed,z}$ [kNm]	Využití _{pod} [%]	Rozhodující [%]	Mez [%]	Posudek
-30,0	-25,0	0,0	66,7	66,7	100,0	OK

Kontrola konstrukčních zásad pro podélnou výztuž

Typ	Hodnota _{vyt}	Hodnota _{mez}	Využití [%]	Posudek
Minimální stupeň vyztužení hlavní výztuží, 9.3.1.1 (1) [%]	1,06	0,15	14,3	OK
Maximální stupeň vyztužení hlavní výztuží, 9.3.1.1 (1) [%]	1,15	4,00	28,8	OK
Minimální světlá vzdálenost hlavní výztuže, 8.2 (2) [mm]	175	30	17,1	OK
Maximální osová vzdálenost hlavní výztuže, 9.3.1.1 (3) [mm]	200	300	66,7	OK

Vstupní hodnoty a mezivýsledky posouzení konstrukčních zásad

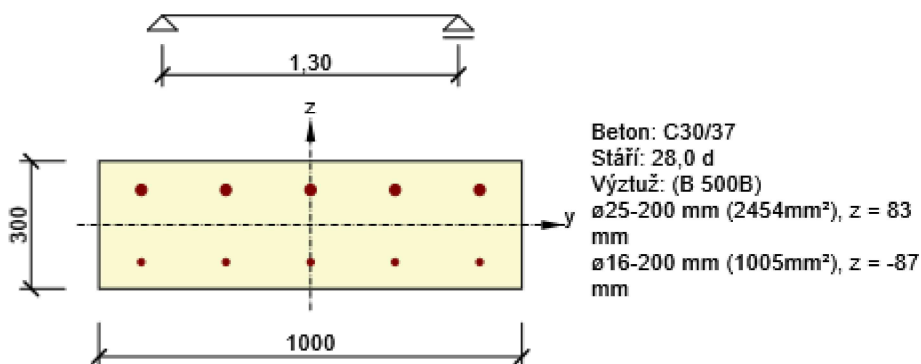
b_w [mm]	d [mm]	A_c [mm ²]	$b_t * d$ [mm ²]	f_{yk} [MPa]	f_{yd} [MPa]	f_{ck} [MPa]	f_{ctm} [MPa]	f_{cd} [MPa]
1000	233	300000	0	500,0	434,8	30,0	2,9	18,0

1 Posouzení řezů

1.1 Řez stěna rámový roh

1.1.1 Extrém S 3 - E 1

Dimenzační dílec	M 3
Vyztužený průřez	R 3



1.1.1.1 Účinky zatížení - vnitřní síly

Typ zatížení	Typ kombinace	N [kN]	V _y [kN]	V _z [kN]	T [kNm]	M _y [kNm]	M _z [kNm]
Celkové	Základní MSÚ	-194,0	0,0	-30,0	0,0	-10,0	0,0
Celkové	Charakteristická	-22,0	0,0	0,0	0,0	-5,0	0,0

1.1.1.2 Souhrn

Rozhodující typ posudku	N _{Ed} [kN]	M _{Ed,y} [kNm]	M _{Ed,z} [kNm]	V _{Ed} [kN]	T _{Ed} [kNm]	Hodnota [%]	Posudek
Smyk	-194,0			30,0	0,0	19,0	OK
Typ posudku	N _{Ed} [kN]	M _{Ed,y} [kNm]	M _{Ed,z} [kNm]	V _{Ed} [kN]	T _{Ed} [kNm]	Hodnota [%]	Posudek
Únosnost N-M-M	-194,0	-10,0	0,0			4,8	OK
Smyk	-194,0			30,0	0,0	19,0	OK
Interakce	-194,0	-10,0	0,0	30,0	0,0	19,0	OK
Omezení napětí	-22,0	-5,0	0,0			2,2	OK
Šířka trhliny	0,0	0,0	0,0			0,0	Neprovedeno

Typ posudku	N _{Ed} [kN]	M _{Ed,y} [kNm]	M _{Ed,z} [kNm]	V _{Ed} [kN]	T _{Ed} [kNm]	Hodnota [%]	Posudek
Ohybová štíhlost	0,0	0,0	0,0			0,0	OK

Mezní hodnota využití průřezu: 100,0 %

1.1.1.3 Únosnost N-M-M

Výsledky prezentovány pro kombinaci : Základní MSÚ

N _{Ed} [kN]	M _{Ed,y} [kNm]	M _{Ed,z} [kNm]	Typ	Hodnota [%]	Mez [%]	Posudek
-194,0	-10,0	0,0	Nu-Mu-Mu	4,8	100,0	OK

Návrhová únosnost při působení ohybového momentu a normálové síly

Typ	F _{Ed}	F _{Rd1}	F _{Rd2}
N [kN]	-194,0	-4017,4	797,2
M _y [kNm]	-10,0	-207,1	41,1
M _z [kNm]	0,0	0,0	0,0

1.1.1.4 Smyk

Výsledky prezentovány pro kombinaci : Základní MSÚ

V _{Ed} [kN]	N _{Ed} [kN]	V _{Rd} [kN]	Posudek zóny	Článek	Hodnota [%]	Mez [%]	Posudek
30,0	-194,0	157,6	bez redukce	6.2.2(1)	19,0	100,0	OK

Návrhové hodnoty posouvající síly a únosnosti ve smyku

V _{Ed} [kN]	V _{Rd,c} [kN]	V _{Rd,max} [kN]	V _{Rd,r} [kN]	V _{Rd,s} [kN]	V _{Rd} [kN]
30,0	157,6	1274,5	1283,0	0,0	157,6

Vstupní hodnoty a mezivýsledky posouzení smyku

n _c	a _{sw} [mm ² /m]	A _{sl} [mm ²]	b _w [mm]	d [mm]	z [mm]	θ [°]	α [°]	α _{cw} [-]
0	0	0	1000	270	243	35,0	90,0	1,03
C _{Rd,c} [-]	k [-]	k ₁ [-]	ρ _l [-]	σ _{cp} [MPa]	σ _{wd} [MPa]	V _{min} [MPa]	v [-]	v ₁ [-]
0,12	1,86	0,15	0,00	0,6	0,0	0,5	0,53	0,60

1.1.1.5 Interakce

Výsledky prezentovány pro kombinaci : Základní MSÚ

N _{Ed} [kN]	M _{Edy} [kNm]	M _{Edz} [kNm]	V _{Ed} [kN]	T _{Ed} [kNm]	Hodnota V+T [%]	Hodnota V+T+M [%]	Hodnota [%]	Mez [%]	Posudek
-194,0	-10,0	0,0	30,0	0,0	19,0	2,3	19,0	100,0	OK

Posouzení interakce posouvající síly a kroucení (beton)

V _{Rd,c} [kN]	T _{Rd,c} [kNm]	V _{Rd,max} [kN]	T _{Rd,max} [kNm]	rce. 6.31 [%]	rce. 6.29 [%]	Hodnota [%]	Mez [%]	Posudek
157,6	0,0	1274,5	0,0	19,0	2,4	19,0	100,0	OK

Posouzení interakce posouvající síly, kroucení, ohybu a normálové síly

F_b [kN]	$\Delta F_{td,s}$ [kN]	$\Delta F_{td,t}$ [kN]	$\Delta \epsilon_s$ [1e-4]	$\Delta \epsilon_t$ [1e-4]	Extrém ve vložce	Hodnota [%]	Mez [%]	Posudek
-17,5	42,8	0,0	0,0	0,0	6	2,3	100,0	OK

Podrobné posouzení výztuže

Vložka	y_i [mm]	z_i [mm]	$\Delta \epsilon_{st}$ [1e-4]	ϵ [1e-4]	ϵ_{lim} [1e-4]	$\Delta \sigma_{st}$ [MPa]	σ [MPa]	σ_{lim} [MPa]	Hodnota [%]	Posudek
6	-400	-87	0,0	-0,5	-450,0	0,0	-10,9	-465,9	2,3	OK

1.1.1.6 Omezení napětí

Omezení napětí - krátkodobé účinky

Typ posudku	Část průřezu	Index	σ [MPa]	σ_{lim} [MPa]	Hodnota [%]	Mez [%]	Posudek
7.2(2)-Char	Vlákno betonu	1	-0,4	-18,0	2,2	100,0	OK

Omezení napětí - dlouhodobé účinky

Typ posudku	Část průřezu	Index	σ [MPa]	σ_{lim} [MPa]	Hodnota [%]	Mez [%]	Posudek
7.2(2)-Char	Vlákno betonu	1	-0,4	-18,0	2,0	100,0	OK

Podrobné posouzení betonu - krátkodobé účinky

Typ posudku	Vlákno	y_i [mm]	z_i [mm]	N [kN]	M_y [kNm]	M_z [kNm]	σ [MPa]	σ_{lim} [MPa]	Hodnota [%]	Posudek
7.2(2)-Char	1	-500	-150	-22,0	-5,0	0,0	-0,4	-18,0	2,2	OK

Podrobné posouzení výztuže - krátkodobé účinky

Typ posudku	Vložka	y_i [mm]	z_i [mm]	N [kN]	M_y [kNm]	M_z [kNm]	σ [MPa]	σ_{lim} [MPa]	Hodnota [%]	Posudek
7.2(5)-Char	1	-400	83	-22,0	-5,0	0,0	0,6	400,0	0,2	OK

Podrobné posouzení betonu - dlouhodobé účinky

Typ posudku	Vlákno	y_i [mm]	z_i [mm]	N [kN]	M_y [kNm]	M_z [kNm]	σ [MPa]	σ_{lim} [MPa]	Hodnota [%]	Posudek
7.2(2)-Char	1	-500	-150	-22,0	-5,0	0,0	-0,4	-18,0	2,0	OK

Podrobné posouzení výztuže - dlouhodobé účinky

Typ posudku	Vložka	y_i [mm]	z_i [mm]	N [kN]	M_y [kNm]	M_z [kNm]	σ [MPa]	σ_{lim} [MPa]	Hodnota [%]	Posudek
7.2(5)-Char	1	-400	83	-22,0	-5,0	0,0	1,6	400,0	0,4	OK

Součinitel dotvarování

Způsob určení	h_0 [mm]	A_c [mm ²]	u [mm]	t [d]	t_0 [d]	t_s [d]	RH [%]	Použití γ_{it}	$\varphi(t, t_0)$ [-]
Automatické	231	300000	2600	36500,0	28,0	7,0	65	Ne	1,95

1.1.1.7 Konstrukční zásady

Výsledky prezentovány pro kombinaci : Základní MSÚ

N_{Ed} [kN]	$M_{Ed,y}$ [kNm]	$M_{Ed,z}$ [kNm]	Využití _{pod} [%]	Rozhodující [%]	Mez [%]	Posudek
-194,0	-10,0	0,0	66,7	66,7	100,0	OK

Kontrola konstrukčních zásad pro podélnou výztuž

Typ	Hodnota _{vyp}	Hodnota _{mez}	Využití [%]	Posudek
Minimální stupeň vyztužení hlavní výztuží, 9.3.1.1 (1) [%]	0,00	0,15	0,0	OK
Maximální stupeň vyztužení hlavní výztuží, 9.3.1.1 (1) [%]	1,15	4,00	28,8	OK
Minimální světlá vzdálenost hlavní výztuže, 8.2 (2) [mm]	175	30	17,1	OK
Maximální osová vzdálenost hlavní výztuže, 9.3.1.1 (3) [mm]	200	300	66,7	OK

Vstupní hodnoty a mezivýsledky posouzení konstrukčních zásad

b_w [mm]	d [mm]	A_c [mm ²]	$b_t * d$ [mm ²]	f_{yk} [MPa]	f_{yd} [MPa]	f_{ck} [MPa]	f_{ctm} [MPa]	f_{cd} [MPa]
1000	270	300000	0	500,0	434,8	30,0	2,9	18,0

ZÁVĚR

Statickým výpočtem bylo prokázáno, že posuzované konstrukce mají požadovanou bezpečnost a dostatečnou únosnost podle evropských norem pro navrhování uvedených v úvodním textu.

v Brně, duben 2019

Ing. Jonáš Gratza